

Sem vložte zadání Vaší práce.



**FAKULTA
INFORMAČNÍCH
TECHNologiÍ
ČVUT V PRAZE**

Diplomová práce

Detekce anomálií v provozu IoT sítí

Bc. Dominik Soukup

Katedra počítačových systémů

Vedoucí práce: Tomáš Čejka

18. března 2018

Poděkování

Doplňte, máte-li komu a za co děkovat. V opačném případě úplně odstraňte tento příkaz.

Prohlášení

Prohlašuji, že jsem předloženou práci vypracoval(a) samostatně a že jsem uvedl(a) veškeré použité informační zdroje v souladu s Metodickým pokynem o etické přípravě vysokoškolských závěrečných prací.

Beru na vědomí, že se na moji práci vztahují práva a povinnosti vyplývající ze zákona č. 121/2000 Sb., autorského zákona, ve znění pozdějších předpisů. V souladu s ust. § 46 odst. 6 tohoto zákona tímto uděluji nevýhradní oprávnění (licenci) k užití této mojí práce, a to včetně všech počítačových programů, jež jsou její součástí či přílohou, a veškeré jejich dokumentace (dále souhrnně jen „Dílo“), a to všem osobám, které si přejí Dílo užít. Tyto osoby jsou oprávněny Dílo užít jakýmkoli způsobem, který nesnižuje hodnotu Díla, a za jakýmkoli účelem (včetně užití k výdělečným účelům). Toto oprávnění je časově, teritoriálně i množstevně neomezené. Každá osoba, která využije výše uvedenou licenci, se však zavazuje udělit ke každému dílu, které vznikne (byť jen zčásti) na základě Díla, úpravou Díla, spojením Díla s jiným dílem, zařazením Díla do díla souborného či zpracováním Díla (včetně překladu), licenci alespoň ve výše uvedeném rozsahu a zároveň zpřístupnit zdrojový kód takového díla alespoň srovnatelným způsobem a ve srovnatelném rozsahu, jako je zpřístupněn zdrojový kód Díla.

V Praze dne 18. března 2018

.....

České vysoké učení technické v Praze

Fakulta informačních technologií

© 2018 Dominik Soukup. Všechna práva vyhrazena.

Tato práce vznikla jako školní dílo na Českém vysokém učení technickém v Praze, Fakultě informačních technologií. Práce je chráněna právními předpisy a mezinárodními úmluvami o právu autorském a právech souvisejících s právem autorským. K jejímu užití, s výjimkou bezúplatných zákonných licencí a nad rámec oprávnění uvedených v Prohlášení na předchozí straně, je nezbytný souhlas autora.

Odkaz na tuto práci

Soukup, Dominik. *Detekce anomálií v provozu IoT sítí*. Diplomová práce. Praha: České vysoké učení technické v Praze, Fakulta informačních technologií, 2018.

Abstrakt

V několika větách shrňte obsah a přínos této práce v češtině. Po přečtení abstraktu by se čtenář měl mít čtenář dost informací pro rozhodnutí, zda chce Vaši práci číst.

Klíčová slova Nahraďte seznamem klíčových slov v češtině oddělených čárkou.

Abstract

Sem doplňte ekvivalent abstraktu Vaší práce v angličtině.

Keywords Nahraďte seznamem klíčových slov v angličtině oddělených čárkou.

Obsah

Úvod	1
1 Cíl práce	3
2 Analýza	5
2.1 Architektura IoT sítí	5
2.2 Používané komunikační protokoly	9
2.3 Bezpečnostní slabiny	16
2.4 Možnosti detekce	17
2.5 Existující řešení	17
2.6 Analýza požadavků	17
2.7 Zvolené řešení	17
3 Návrh	19
3.1 Možnosti detekce	19
3.2 Možnosti nasazení	19
3.3 Scénáře útoků	19
3.4 Kolektor	19
3.5 Detektor	19
3.6 Multiplexor a demultiplexor	19
4 Realizace	21
5 Testování	23
Závěr	25
Literatura	27
A Seznam použitých zkratk	29

Seznam obrázků

2.1	Porovnání klasické a Fog architektury	6
2.2	MQTT architektura	9

Úvod

Koncept internetu existuje již několik desítek let a pro spoustu lidí se stal nedílnou součástí pracovního i osobního života. V poslední době je možné sledovat stále rostoucí počet zařízení, která jsou do něj zapojena. Tento trend by měl pokračovat i do budoucnosti, a dokonce v ještě větším měřítku. Odhadem je přes 30 miliard připojených zařízení do roku 2020 [1]. Důvodem zrychleného růstu je expanze síťového připojení na veškeré elektronické zařízení a senzory, které umožní vzdálené ovládání a monitorování. Pro označení tohoto trendu se používá termín Internet věcí (Internet of Things, IoT).

Cílem IoT je usnadnit, zlepšit a ušetřit lidskou činnost napříč všemi odvětvími. Uplatnění se nachází zejména ve výrobních podnicích, dopravě nebo běžných domácnostech. Příklad konkrétního nasazení popisuje článek [2], jehož cílem je měření kvality spánku a odhalení případných poruch. Monitorovací systém lze dále propojit například s ovládáním místnosti, které bude reagovat na aktuální úroveň spánku úpravou světel, oken nebo vzduchu.

Dále je upraven model komunikace, který již nevyžaduje zaslání zpráv centrálnímu serveru (north-south), ale podporuje přímou komunikaci mezi připojenými uzly (east-west). Oblast IoT nezahrnuje jen malá a nevýkonná zařízení, ale jeho součástí jsou i výkonná datová centra a pokročilé algoritmy, které vyhodnocují získané informace.

Hlavní hrozbou Internetu věcí je bezpečnost. Dochází zde k přenosu citlivých dat, která slouží k automatizovanému řízení dalších systémů, monitorování prostředí a zabezpečovacím účelům. Zároveň s masivním rozšířením nově připojených zařízení roste riziko vzniku nových útoků a možnosti způsobení větších škod. Příkladem bezpečnostního incidentu je útok na distribuční síť elektrického proudu na Ukrajině, který měl dopad na 225 000 zákazníků [3].

Pro potlačení možného vzniku hrozeb musí být součástí každé dnešní IoT sítě sada procesů, které umožní důvěryhodné získávání validních dat, vzdálenou správu a možnost detekce anomálií jako v běžných IP (Internet Protocol) sítích.

Cíl práce

Cílem magisterské práce je analyzovat množinu aktuálně používaných protokolů pro komunikaci v IoT sítích a identifikovat jejich bezpečnostní zranitelnosti. Při analýze bude věnována pozornost zejména bezdrátovým sensorovým protokolům. Na základě získaných znalostí bude navržen, implementován a otestován algoritmus pro monitorování a automatickou detekci anomálního provozu v IoT sítích. Algoritmus bude možné spustit v prostředí nově vznikající opensource brány BeeOn, čímž dojde k rozšíření dostupných bezpečnostních funkcí.

Analýza

Kapitola se zabývá analýzou celkové architektury IoT sítí a způsoby pro jejího zabezpečení. Postupně je prozkoumán komunikační model, možné bezpečnostní hrozby, a existující řešení pro obranu. Na základě analýzy jsou uvedeny funkční a nefunkční požadavky, které jsou kladeny na výsledný program. V závěru jsou vybrány konkrétní technologie pro realizaci.

2.1 Architektura IoT sítí

V blízké době se očekává stále větší nárůst zařízení, která jsou připojena k internetu. Dle odhadů by jejich počet měl v roce 2020 překročit 30 miliard [1]. Pro takové množství připojení už není možné, aby každé zařízení komunikovalo přímo se vzdáleným datovým centrem, protože nároky na potřebnou šířku pásma by byly obrovské [4]. Dalším problémem je často velmi omezený výkon připojených prvků, který je nezbytný pro použití bezpečnostních funkcí umožňujících kompletně zabezpečenou komunikaci.

Řešení těchto problémů je do probíhající komunikace přidat několik podvrstev, které umožní přesunout výpočetní výkon blíže ke koncovým zařízením, a tím celý proces zpracování dat provést efektivněji.

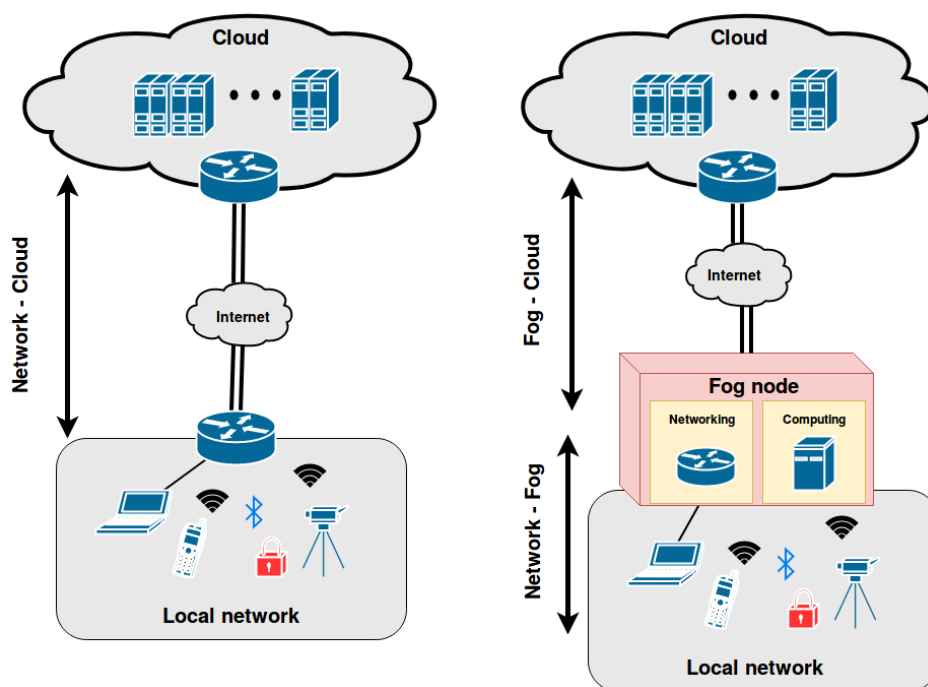
V následujících podkapitolách bude popsán nový model komunikace, který přináší IoT sítě.

2.1.1 Fog computing

Fog computing je rozšíření Cloud computingu, které spočívá v přesunutí výpočetního výkonu blíže k okraji sítě. Rozšíření je umožněno pomocí přidání síťových zařízení, které kromě běžných funkcionalit poskytují i výpočetní výkon pro běh externích programů. Programy je často možné nasadit pomocí kontejnerů nebo samostatných virtuálních strojů, což velmi usnadňuje jejich distribuci [4].

2. ANALÝZA

Porovnání klasické a Fog architektury se nachází na obrázku 2.1. V reálném nasazení může být použito i více Fog vrstev, kde každá provádí určitý stupeň předzpracování a řízení dat. Zavedením principů Fog computingu vznikají pro



Obrázek 2.1: Porovnání klasické a Fog architektury

sít následující výhody:

- **Zlepšení bezpečnosti** [4]

Síťové prvky jsou trvale napájené a připojené k internetu. Podporují pokročilé bezpečnostní funkce, a proto je možné například vytvářet šifrované tunelové spojení pro bezpečný přenos dat.

- **Nižší nároky na šířku pásma a latenci** [4]

Odeslaná data z koncových zařízení jsou zpracovávána a filtrována na okraji sítě. Tím je možné rychleji reagovat na přijaté zprávy a snížit nároky na latenci a šířku pásma. Zároveň krátkodobá data mohou být uložena ve Fog vrstvě a centrální datové centrum může být využito pro dlouhodobé údaje, které se zpracovávají pokročilými algoritmy pro analýzu dat.

- **Jednotná správa** [4]

Při správě sítě už se nemusí přistupovat přímo na koncové prvky, které často komunikují různými protokoly, ale stačí pouze řídit síťová zařízení v jednotlivých Fog vrstvách, které odstiňují různorodost protokolů a nabízí standardizovaný přístup. Díky této abstrakci je zároveň zjednodušeno zpracování získaných dat a je umožněno přímé zasílání zpráv mezi koncovými prvky, které používají odlišné komunikační protokoly.

2.1.2 IoT brána

IoT brána je síťové zařízení, které je umístěno velmi blízko koncových zařízení a představuje vstup do Fog vrstvy. Jejím hlavním cílem je získávat data z připojených zařízení a poskytovat je vyšším vrstvám. Pokud je brána reprezentována výkonnějším síťovým prvkem, tak v rámci brány může probíhat i základní zpracování dat.

Pro IoT sítě je typické, že obsahují velké množství koncových prvků komunikujících různorodými způsoby. Zejména senzory používají protokoly, které nepodporují IP spojení. Důvodem použití této komunikace je často velký důraz na nízkou spotřebu a specifické požadavky na způsob zasílání zpráv. Příkladem protokolů pro senzorové sítě je například: Z-Wave, Bluetooth a Zigbee. Jejich detailní popis se nachází v kapitole 2.2. Tato různorodost vyžaduje, aby brána obsahovala dodatečná rozhraní, které umožní připojení nejrozličnějších bezdrátových i drátových koncových prvků.

V současné době existuje mnoho různých bran jejichž parametry se liší dle způsobu nasazení a provozních nároků. Velkým problémem v této oblasti je malý důraz na bezpečnostní funkce, které umožní vzdálené řízení brány, kontrolu provozu a aktualizace programového vybavení. Z těchto důvodů vznikl open-source projekt BeeeOn [5] jehož cílem je vytvořit softwarou IoT bránu, kterou bude možné spustit na různých hardwarových platformách. BeeeOn brána je navržena modulárně tak, aby byla schopna zpracovávat více rozdílných senzorových protokolů, a tím bude možné provozovat jedno univerzální zařízení namísto několika proprietárních. Zároveň je kladen důraz na bezpečnost, a proto veškeré údaje, které je možné získat o provozu, jsou poskytovány pro analýzu. Nad těmito údaji je postaven detekční algoritmus, který je výsledkem této diplomové práce.

2.1.3 Komunikační model a jeho hrozby

Při použití principů popsaných v předchzích kapitolách lze model komunikace rozdělit do následujících vrstev [6]:

- Aplikační vrstva
- Síťová vrstva
- Senzorová vrstva

Jednotlivé vrstvy budou popsány v následujících podkapitolách.

2.1.3.1 Senzorová vrstva

Senzorová vrstva obsahuje veškerá koncová zařízení, které získávají informace ze svého okolí nebo vykonávají potřebnou službu [7]. Tato zařízení jsou připojena kabelově nebo bezdrátově k IoT bráně. K jedné bráně může být připojeno několik prvků, které komunikují odlišnými způsoby.

Velkým nebezpečím této vrstvy jsou zejména bezdrátové protokoly, protože při nepoužití zabezpečení může snadno dojít k odposlouchávání nebo úpravám provozu [6]. Dále se zde mohou vyskytovat zařízení, které jsou označeny jako zabezpečené, ale používají zastaralé bezpečnostní funkce nebo obsahují implementační chyby. Tento případ je velmi nebezpečný, protože vyvolává falešný pocit bezpečí.

2.1.3.2 Síťová vrstva

Po zpracování senzorových dat na bráně je nutné získané informace odeslat dalším službám. K tomuto účelu slouží síťová vrstva. Cílem této vrstvy je také umožnění vzdálené správy brány [7]. Pro výběr konkrétního protokolu je nutné znát rozhraní aplikační vrstvy. Nicméně spojení je většinou vytvořeno pomocí protokolu HTTPS (Hypertext Transfer Protocol Secure) nebo technologie VPN (Virtual Private Network). Nad tímto spojením je postaven další služba pro výměnu zpráv. Příkladem může být: MQTT (Message Queuing Telemetry Transport), COAP (Constrained Application Protocol), AMQP (Advanced Message Queuing Protocol).

Bezpečnostní hrozby této vrstvy jsou stejné jako v klasických sítích. Je potřeba dodržet principy důvěry, integrity a dostupnosti. Tímto přístupem je možné předejít útokům jako: DDoS (Distributed Denial Of Service), MITM (Man In The Middle) a podvržení informací. Zároveň je nutné nezapomenout, že se zde většinou vyskytuje M2M (Machine To Machine) komunikace a je důležité použít vhodná komunikační rozhraní [6].

2.1.3.3 Aplikační vrstva

Aplikační vrstva se stará o ukládání dlouhodobých dat a jejich finální zpracování. Zároveň zobrazuje uživateli zpracované informace a umožňuje provádět konfiguraci celé sítě. Z důvodu možné rozsáhlosti celé sítě je kritické, aby správa topologie podporovala automatizaci. [7].

Tato vrstva je umístěna většinou v datovém centru a umožňuje vzdálený přístup. Její bezpečnostní problémy lze přirovnat k problémům cloud computingu. Dle množství požadovaných funkcí může být různě složitá a s rostoucí složitostí se také liší nároky na úroveň zabezpečení. Příkladem možných útoků může být: Buffer Overflow, SQL Injection nebo DDoS.

2.2 Používané komunikační protokoly

Jedním z hlavních cílů IoT je možnost vzájemného propojení různých komunikačních protokolů, které umožní automatizovanou výměnu zpráv mezi všemi dostupnými zařízeními. Tímto způsobem je následně možné zefektivňovat a usnadňovat lidskou práci.

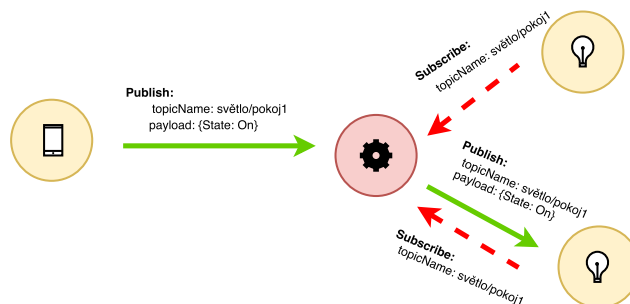
V následujících podkapitolách bude popsána množina aktuálně často používaných protokolů včetně jejich bezpečnostních funkcí.

2.2.1 MQTT

MQTT je otevřený síťový komunikační protokol typu publish/subscribe, který byl navržen v roce 1999. Již od návrhu byl zaměřen na nízkou náročnost komunikace a jednoduchost implementace. Díky těmto vlastnostem je velmi vhodný pro IoT a M2M systémy. [8]

2.2.1.1 Způsob komunikace

Protokol MQTT je postaven nad transportní vrstvou TCP (Transmission Control Protocol) a využívá model publish/subscribe, který vychází z tradičního způsobu zasílání zpráv typu klient-server. Roli serveru zde plní speciální uzel, který se nazývá broker. Broker je známý všem ostatním klientům, kteří mohou zasílat zprávy pomocí operace publish nebo se přihlásit o příjem zpráv díky operaci subscribe. Na základě provedených operací broker přijímá zprávy a rozhoduje o jejich přeposlání. Způsob odeslání zprávy závisí na obsažených metadatech.



Obrázek 2.2: MQTT architektura

Nejčastěji o směru odeslání rozhoduje předmět (topic) zprávy. Předmět je tvořen jednoduchým UTF-8 řetězcem s hierarchickou strukturou, ve které jsou jednotlivé vrstvy odděleny dopředným lomítkem (např. /domov/přízemí/světloŠatna). V předmětu zprávy mohou být některé vrstvy nahrazeny zástupnými symboly + a #. Symbol + dokáže nahradit pouze jednu úroveň předmětu libovolným

2. ANALÝZA

řetězcem a symbol # umožňuje zastoupit více úrovní. Díky těmto symbolům mohou klienti odeslat nebo přijímat zprávy z více témat.

Další užitečnou položkou protokolu MQTT je QoS (Quality of Service), která může nabývat hodnot 0, 1 nebo 2.

- **QoS 0**

Veškeré zprávy jsou odesílány bez potvrzení a žádným způsobem není zvýšena úroveň spolehlivosti, která je shodná se spolehlivostí protokolu TCP.

- **QoS 1**

Pomocí potvrzování zajišťuje, že každá zpráva bude příjemci doručena alespoň jednou.

- **QoS 2**

Umožňuje, aby každá zpráva byla spolehlivě doručena právě jednou.

Hodnota QoS se nastavuje vždy mezi dvěma uzly při navazování spojení. Z pohledu brokeru se může stát, že přijatá a odeslaná zpráva mají jiné QoS. Úrovně 1 a 2 dále umožňují perzistentní ukládání zpráv v případě, že příjemce je nedostupný. Zároveň platí, že s vyšší úrovní roste i režie komunikace. [9]

2.2.1.2 Bezpečnost

Zabezpečení protokolu MQTT je možné rozdělit do následujících vrstev:

- **Síťová vrstva**

Veškerá komunikace postavena nad TCP/IP. Z tohoto důvodu je možné komunikaci zapouzdřit pomocí VPN (Virtual Private Network) připojení jako v běžných počítačových sítích. Z důvodu větších nároků na výkon je toto řešení vhodnější pro výkonnější zařízení jako jsou například IoT brány, které mohou s brokerem navázat site-to-site spojení. [10]

- **Transportní vrstva**

Na této úrovni se využívá šifrování provozu pomocí protokolu TLS (Transport Layer Security). Omezením této metody jsou požadavky na výkon, které mohou být poměrně vysoké pokud nastává časté navazování spojení. [10]

- **Aplikační vrstva**

Samotný protokol MQTT nedefinuje žádné šifrovací mechanismy na aplikační úrovni. Zabezpečení dat zde musí zajistit uživatel ještě před zapouzdřením do MQTT zprávy. Ovšem tímto způsobem je možné šifrovat jen tělo zprávy a hlavička zůstává nezměněná.

Pro autentizaci je možné využít ověření pomocí jména a hesla nebo x.509 certifikátu. Jméno a heslo je přenášeno nešifrovaně, a proto je vhodné tuto metodu doplnit se zabezpečením síťové nebo transportní vrstvy. Autentizaci pomocí certifikátů je možné využít v případě použití TLS. Tato metoda je vhodnější pokud všechna zařízení jsou po jednotnou správou a je možné automatizovat distribuci klientských certifikátů.

Dále je na straně brokeru možné definovat pravidla pro autorizaci. Tyto pravidla přiřazují klientům oprávnění pro provedení operací publish a subscribe nad příslušnými tématy. [10]

2.2.2 COAP

CoAP (Constrained Application Protocol) je otevřený přenosový protokol určený pro komunikaci síťových zařízení s velmi omezeným výkonem. Návrh vychází z RESTful (Representational State Transfer) principů, tudíž jeho použití je velmi vhodné v prostředích s již existujícím webovým rozhraním, do kterého se snadno integruje. [11]

2.2.2.1 Způsob komunikace

Komunikace je postavena nad protokolem UDP (User Datagram Protocol) a vychází z modelu request/response, který se využívá u protokolu HTTP (Hypertext Transfer Protocol). Oproti protokolu HTTP je zde omezen počet možných operací a komunikace probíhá asynchronně. Dle důležitosti odesílané zprávy je možné určit, zda se má zasílat potvrzení či nikoli. Protože veškerá komunikace probíhá nad protokolem UDP, tak přenášené zprávy obsahují položku Message ID, která dokáže ošetřit duplikaci přijatých dat.

Pro zajištění integrace s běžnými webovými službami a zachování nízkých nároků se v CoAP topologii velmi často vyskytují proxy servery. Tyto servery mohou plnit funkci běžných reverzních a dopředných proxy, mapování mezi CoAP a HTTP protokolem nebo vyvažování zátěže.

Ve specifikaci protokolu CoAP jsou definovány následující operace:

- **GET**

Metoda *GET* vrací aktuální stav požadovaného zdroje, který je identifikován pomocí URI (Uniform resource identifier). Tato operace je vždy bezpečná a idempotentní.

- **POST**

POST požadavek obsahuje ve svém těle novou reprezentaci cílového zdroje a požaduje jeho zpracování. Funkce, která novou reprezentaci přijímá je definovaná na cílovém uzlu s příslušným URI. Výsledkem je vytvoření nového zdroje nebo aktualizace původního. Tato metoda není z pohledu zpracování bezpečná ani idempotentní.

- **PUT**

Tato metoda specifikuje nový stav cílového zdroje, který se buď vytvoří, nebo v případě jeho existence aktualizuje. Provedení operace není bezpečné, ale je idempotentní.

- **DELETE**

Operace *DELETE* požaduje smazání zdroje s příslušným URI. Tato metoda není bezpečná, ale je idempotentní.

Vyhledání potřebného zdroje je v topologii protokolu CoAP možné provést pomocí znalosti jeho URI nebo odesláním multicastového požadavku na definovanou skupinu uzlů. Možnost vyhledávání cílových zdrojů je velmi důležitá zejména v M2M prostředích. [11]

2.2.2.2 Bezpečnost

Samotný protokol nijak nedefinuje možnost autentizace a autorizace. V případě potřeby je nutné tyto mechanismy implementovat v aplikačním kódu.

Pro zajištění šifrování provozu nabízí CoAP následující režimy:

- **NoSec**

Tento mód neobsahuje žádnou úroveň zabezpečení a veškeré zprávy jsou zasílány v otevřené podobě.

- **PreSharedKey**

V tomto případě se naváže spojení pomocí protokolu DTLS (Datagram Transport Layer Security), které využívá symetrické šifrování. Předsdílený klíč musí být známý všem uzlům před zahájením komunikace.

- **RawPublicKey**

Tento režim také navazuje zabezpečené spojení pomocí protokolu DTLS, ale místo symetrické šifry se používá asymetrická.

- **Certificate**

Mód *Certificate* rozšiřuje *RawPublicKey* o přidání certifikátu.

Podobně jako u protokolu MQTT je i zde možné ochránit provoz na síťové vrstvě pomocí VPN. Při nasazení libovolného režimu zabezpečení je nutné počítat s většími nároky na výkon, které musí klient splňovat pro navazování a udržování spojení. [11]

2.2.3 Z-Wave

Z-Wave je bezdrátový komunikační protokol určený pro senzorové sítě, který vysílá v subgigahercových pásmech ISM (Industrial, Scientific and Medical). Veškeré komunikační prvky jsou certifikovány aliancí Z-Wave, která zároveň poskytuje technickou dokumentaci a licence pro vývoj. V současné době existují certifikace Z-Wave a Z-Wave Plus. Z-Wave Plus zařízení obsahují nový chipset, který vylepšuje komunikační parametry sítě a zároveň je zpětně kompatibilní se staršími modely. [12] Otevřená implementace celého protokolu se nazývá OpenZWave [13], která je vyvíjena komunitou. [14]

2.2.3.1 Způsob komunikace

V Z-Wave síti se může maximálně vyskytovat 232 uzlů, mezi kterými se vždy nachází jeden označený jako kontroler. Pro přidání libovolného zařízení do sítě musí být nejprve provedeno přímé spárování s kontrolerem. Během párovacího procesu nový prvek získá vlastní 8 bitový identifikátor (*Node ID*) a unikátní 32 bitový identifikátor sítě (*Home ID*), který má již od výroby kontroler uložen v nepřepisovatelné paměti. Následné zasílání zpráv už nemusí probíhat přímo mezi senzorem a kontrolerem, ale zprávy mohou být přeposílány sousední prvky, které jsou trvale napájené, čímž se velmi zvyšuje možná rozloha sítě. Pro odebrání libovolného zařízení je opět nutné zajistit přímé spojení s kontrolerem a spustit odstraňovací proces. [14]

V rámci specifikace Z-Wave [15] je definován mechanismus pro určení dostupných příkazů. Každý senzor obsahuje svou definici tříd funkcionalit (*Command Class*), které obsahují dostupné příkazy a formát odpovědi. Tyto definice jsou předány kontroleru během procesu párování. Příkladem může být třída *Binary Switch*, která obsahuje příkazy:

- *SET* - odesílá kontroler pro nastavení hodnoty
- *GET* - odesílá kontroler pro získání hodnoty
- *REPORT* - odesílá senzor jako odpověď na dotaz *GET*

Při posílání zpráv je vždy vyžadováno potvrzení. V případě neobdržení potvrzení se vysílání opakuje. Po třetím neúspěšném pokusu je požadavek zahozen.

2.2.3.2 Bezpečnost

Původní verze protokolu Z-Wave umožňovala volitelně využívat šifrování pomocí 128 bitového AES (Advanced Encryption Standard). Výměna symetrického klíče probíhá během počátečního párování, kde je vygenerovaný klíč šifrován pomocí výchozího klíče, který je uložen ve firmwaru. Vzhledem k tomuto postupu je dobré provádět počáteční párování na bezpečném místě, kde nemůže dojít k odposlechu. [16]

V roce 2016 Z-Wave aliance vydala nový S2 (Security 2) framework, který vylepšuje bezpečnostní funkcionality a od roku 2017 je jeho použití povinné pro všechny nově certifikovaná zařízení.

S2 framework umožňuje zařízení rozdělit do následujících skupin s rozdílnými šifrovacími klíči:

- **Access Control** - nejdůvěryhodnější třída, která obsahuje bezpečnostní prvky jako jsou například zámky, které zároveň podporují autentizaci
- **Authenticated** - skupina určená pro běžné senzory, které podporují autentizaci
- **Unauthenticated** - třída pro ostatní prvky, které nepodporují autentizaci.

Autentizace probíhá pomocí PIN (Personal Identification Number) nebo QR (Quick Response) kódu. Výměna klíče je založena na algoritmu ECDH (Elliptic-curve Diffie–Hellman), který zajišťuje dostatečnou úroveň bezpečnosti během párovacího procesu. [14]

2.2.4 BLE (Bluetooth Low Energy)

BLE je bezdrátový protokol určený pro senzorové sítě s důrazem na nízkou spotřebu. Byl představen v roce 2010 jako součást specifikace Bluetooth 4.0 a je nekompatibilní s původními verzemi. Za vývoj a údržbu protokolu je odpovědná skupina Bluetooth SIG (Special Interest Group). V současné době je nejnovější verzí Bluetooth 5.

2.2.4.1 Způsob komunikace

BLE vysílá v bezlicenčním ISM pásmu na frekvencích od 2.4 GHz do 2.4835 GHz. Specifikace protokolu vychází z Bluetooth, ale zejména díky změnám parametrů v rádiové vrstvě jsou navzájem nekompatibilní. Do verze 4 umožňuje navázat pro koncová zařízení pouze jedno spojení a vytváří tak hvězdicovou topologii s jedním centrálním prvkem. Od verze 5 je možné využívat více připojení a vytvořit tak flexibilnější mesh topologii.

Před zahájením komunikace mezi centrálním prvkem a senzory je nutné nejprve provést párování, které probíhá v následujících krocích:

- **Vysílání žádostí**

Při spuštění párování začne koncový prvek na kanálech určených pro propagaci všesměrově vysílat žádosti o připojení, které obsahují název zařízení, jméno výrobce a podporované služby.

- **Přijímání žádostí**

Pokud je centrální prvek přepnutý do párovacího režimu, tak naslouchá příchozím požadavkům, které zobrazuje uživateli. Po výběru správného zařízení se ukončí mód naslouchání a začne se navazovat spojení.

- **Inicializace připojení**

Během této fáze se obě strany domlouvají na parametrech komunikace.

- **Komunikace**

Po úspěšném navázání spojení je možná na základě dostupných služeb provádět zasílání zpráv.

2.2.4.2 Bezpečnost

BLE umožňuje volitelně používat šifrování pomocí AES, jehož šifrovací klíč je vytvořen během párování v části inicializace připojení. Velmi důležité je zabezpečit výměnu sdíleného klíče, která až do verze 4.1 není bezpečná, protože neumožňuje ochranu před odposloucháváním. Vylepšení přichází až od verze 4.2, ve které lze využít ECDH.

Vzhledem k různorodosti možných typů zařízení definuje BLE následující kategorie určující způsob výměny klíče:

- **Just Works**

Nejjednodušší třída, která provádí výměnu automaticky a zároveň má nejmenší nároky na připojované zařízení, které nemusí podporovat autentizaci.

- **Out of Band**

Veškeré klíče jsou vyměňovány odlišným komunikačním kanálem např. přes NFC (Near Field Communication). Celková bezpečnost této metody závisí na důvěryhodnosti použitého kanálu.

- **Passkey**

Tato metoda vylepšuje **Just Works** o autentizaci, která spočívá v uživatelském zadání šesti místního kódu. Pro ochranu před odposloucháváním musí být použit algoritmus ECDH, který je dostupný až od verze 4.2.

- **Numeric Comparison**

2.3 Bezpečnostní slabiny

Na základě provedené analýzy aktuálně používaných protokolů budou v této kapitole popsány jejich bezpečnostní slabiny, které budou později využity při návrhu detekčních algoritmů. Jelikož je tato práce zaměřena na senzorové protokoly nekumunikující přes IP, budou v této kapitole popsány slabiny protokolů Z-Wave a BLE.

2.3.1 Z-Wave

Hlavním problémem jsou zařízení certifikovaná před březnem 2017, jelikož nepodporují S2 framework. Tyto prvky nemusí při své komunikaci využívat žádnou formu šifrování a síť se tak stává velmi zranitelnou. V minulosti již bylo provedeno několik útoků, které pomocí projektu Scapy-Radio projektu [17] nebo knihovny OpenZWave byly schopny ovládat jednotlivé senzory. Při využití šifrování je velmi zranitelná doba během párovacího procesu, jelikož je při výměně šifrovacích klíčů použit výchozí klíč uložený ve firmware zařízení. Zároveň se u jednoho typu zámku podařilo objevit implementační chybu [16], které umožňovala vnutit nový šifrovací klíč a převzít tak kontrolu nad senzorem.

Při využití S2 frameworku dosud nebyly objeveny žádné zranitelnosti, ovšem tento framework je poměrně nový a většina používaných zařízení byla certifikována ještě před jeho zavedením.

2.3.2 BLE

2.4 Možnosti detekce

- Vnější vs vnitřní útoky
- Signature based vs Anomaly based
- paketová vs flow vs extended flow analýza
- Sensorová data - provozní data z driverů vs dedikované zařízení (SDR, ...)

2.5 Existující řešení

- Existuje řešení pomocí Suricata, které používá Turrel (centrální, signature based řešení)
- Neexistuje řešení, které by provádělo detekce z sensorových dat
- Neexistuje řešení, které by umožňovalo sensorové nebo pokročilé síťové detekce na bráně nebo mimo ni

2.6 Analýza požadavků

2.7 Zvolené řešení

povídání o nutnosti učení se, ... další poznámky z telefonu

Návrh

3.1 Možnosti detekce

- testbed, externí sonda, provozní data

3.2 Možnosti nasazení

- popis celkové architektury řešení
- lokální a externí detekce

3.3 Scénáře útoků

3.4 Kolektor

3.5 Detektor

3.6 Multiplexor a demultiplexor

Realizace

Testování

Závěr

Literatura

- [1] Statista: Internet of Things (IoT) connected devices installed base worldwide from 2015 to 2025. Statista. [online], 2016 [cit. 2018-01-14]. Dostupné z: <https://www.statista.com/statistics/471264/iot-number-of-connected-devices-worldwide/>
- [2] Milici, S.; Lázaró, A.; Villarino, R.; aj.: Wireless Wearable Magnetometer-Based Sensor for Sleep Quality Monitoring. *IEEE Sensors Journal*, 2018: s. 2145–2152.
- [3] Whitehead, D. E.; Owens, K.; Gammel, D.; aj.: Ukraine cyber-induced power outage: Analysis and practical mitigation strategies. In *2017 70th Annual Conference for Protective Relay Engineers (CPRE)*, 2017, s. 1–8.
- [4] Statista: Fog Computing and the Internet of Things: Extend the Cloud to Where the Things Are. Cisco. [online], 2015 [cit. 2018-01-15]. Dostupné z: https://www.cisco.com/c/dam/en_us/solutions/trends/iot/docs/computing-overview.pdf
- [5] BeeeOn: Main Page. beeeon.org. [online], 2017 [cit. 2018-02-06]. Dostupné z: <https://beeeon.org>
- [6] Zhao, K.; Ge, L.: A Survey on the Internet of Things Security. In *2013 Ninth International Conference on Computational Intelligence and Security*, 2013, s. 663–667.
- [7] Pacheco, J.; Hariri, S.: IoT Security Framework for Smart Cyber Infrastructures. In *2016 IEEE 1st International Workshops on Foundations and Applications of Self* Systems (FAS*W)*, 2016, s. 242–247.
- [8] OASIS: MQTT Version 3.1.1 Plus Errata 01. OASIS. [online], 2015 [cit. 2018-03-08]. Dostupné z: <http://docs.oasis-open.org/mqtt/mqtt/v3.1.1/errata01/os/mqtt-v3.1.1-errata01-os-complete.html>

- [9] dc square: MQTT Essentials Wrap-Up. HiveMQ. [online], 2018 [cit. 2018-03-08]. Dostupné z: <https://www.hivemq.com/blog/mqtt-essentials-wrap-up>
- [10] dc square: MQTT Security Fundamentals. HiveMQ. [online], 2018 [cit. 2018-03-08]. Dostupné z: <https://www.hivemq.com/mqtt-security-fundamentals/>
- [11] Shelby, Z.; Hartke, K.; Bormann, C.: The Constrained Application Protocol (CoAP). RFC7252. [online], 2014 [cit. 2018-03-08]. Dostupné z: <https://tools.ietf.org/html/rfc7252>
- [12] Alliance, Z.-W.: Z-Wave Plus Certification. Z-Wave Alliance. [online], 2018 [cit. 2018-03-17]. Dostupné z: https://z-wavealliance.org/z-wave_plus_certification/
- [13] OpenZWave: OpenZWave. OpenZWave. [online], 2018 [cit. 2018-03-17]. Dostupné z: <http://www.openzwave.net/>
- [14] Krejčí, R.; Hujňák, O.; Švepeš, M.: Security survey of the IoT wireless protocols. In *2017 25th Telecommunication Forum (TELFOR)*, 2017.
- [15] Designs, S.: Introduction to Z-Wave Specifications. ZWave. [online], 2016 [cit. 2018-03-18]. Dostupné z: <http://zwavepublic.com/specifications>
- [16] Fouladi, B.; Ghanoun, S.: Security Evaluation of the Z-Wave Wireless Protocol. [online], 2013 [cit. 2018-03-18]. Dostupné z: <https://sensepost.com/cms/resources/>
- [17] Fouladi, B.; Ghanoun, S.: EZ-Wave. Github. [online], 2016 [cit. 2018-03-18]. Dostupné z: <https://github.com/cureHsu/EZ-Wave>

Seznam použitých zkratk

GUI Graphical user interface

XML Extensible markup language

Obsah přiloženého CD

	readme.txt.....	stručný popis obsahu CD
	exe	adresář se spustitelnou formou implementace
	src	
	impl.....	zdrojové kódy implementace
	thesis	zdrojová forma práce ve formátu L ^A T _E X
	text	text práce
	thesis.pdf	text práce ve formátu PDF
	thesis.ps	text práce ve formátu PS